

5 Freie Elektronen

5.1 Klassische Beschreibung

5.1.1 Metalle und ihre Eigenschaften

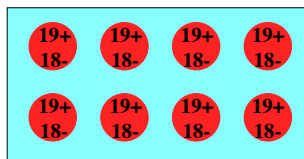


Abbildung 5.1: Metallische Bindung.

In diesem Kapitel soll in erster Linie der Versuch unternommen werden, das Verhalten von Elektronen in Metallen zu beschreiben. Die metallische Bindung stellt zwar nur eine von 5 Grundtypen der Bindung in Festkörpern dar, sie ist jedoch sehr weit verbreitet: mehr als 2/3 der Elemente sind Metalle. Metalle enthalten zwei Arten von Elektronen, zum einen diejenigen, welche in tief liegenden Orbitalen der konstituierenden Atome sitzen und praktisch an den entsprechenden Atomen lokalisiert sind. Daneben trägt jedes Atom eine geringe Zahl (typischerweise 1-3) Leitungselektronen bei, welche sich praktisch frei durch das Material bewegen, dieses jedoch nicht verlassen können.

Diese frei beweglichen Leitungselektronen sind für die charakteristischen Eigenschaften der Metalle verantwortlich, welche sie gegenüber den weiter verbreiteten nichtmetallischen Verbindungen auszeichnen. Zu diesen charakteristischen Eigenschaften gehören die gute Leitfähigkeit für Elektrizität und Wärme, sowie der Glanz von metallischen Oberflächen.

Sowohl das klassische Modell (Kap. 5.1), wie auch das quantenmechanische (Kap. 5.2) beschreiben die Metalle im Wesentlichen über freie Elektronen, welche in einen Potenzialtopf eingesperrt sind, dessen Ränder den Rändern des Kristalls entsprechen. Dieses Modell der freien Elektronen eliminiert jede Wechselwirkung zwischen Elektronen mit Ausnahme des Pauli-Prinzips. Die Wechselwirkung der



Abbildung 5.2: Beispiele von Metallen und metall-typischen Eigenschaften.

Elektronen mit Atomröhren wird zunächst ebenfalls nicht berücksichtigt und erst in einer zweiten Stufe (im Kapitel 6) als ein periodisches Potenzial berücksichtigt, welches die gleiche Periode wie das Gitter aufweist. Trotz dieser extremen Vereinfachungen kann das Modell freier Elektronen erstaunlich viele Aspekte der Metalle erklären.

5.1.2 Das Drude-Modell

Die klassische Theorie entstand drei Jahre nach der Entdeckung des Elektrons durch J.J. Thomson (1897). Im 19. JH hatte die kinetische Gastheorie eine befriedigende Erklärung für viele bekannte Effekte im Bereich der Thermodynamik geliefert. Dies mag ein Motiv gewesen sein dafür, dass P. Drude die Elektronen in einem Metall als Gas modellierte¹. Seine Annahme war, dass die äußersten Elektronen jedes Atoms sich im Metall praktisch frei bewegen können. Zu diesen Leitungselektronen tragen die Atome, welche das Gitter bilden normalerweise ein oder zwei Elektronen bei. Diese Elektronen sind im

¹P. Drude, Annalen der Physik 1, 566 und 3, 369 (1900).

gesamten Kristall frei beweglich, wobei die positiv geladenen Atomrumpfe ein Potenzial bilden.

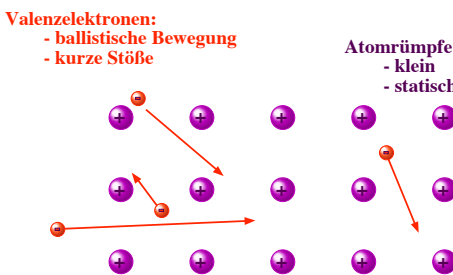


Abbildung 5.3: Das Drude-Modell des freien Elektronengases.

Nach Drude verhalten sich diese Elektronen ähnlich wie ungeladene Teilchen in einem klassischen Gas:

- Die Atomrumpfe sind klein und statisch.
- Die Elektronen sollen eine freie Weglänge zwischen Stößen haben, welche vielen Gitterkonstanten entspricht.
- Zwischen den Stößen ist die Bewegung frei, d.h. unabhängig von den anderen Elektronen (unabhängige Elektronen) und von den Atomrumpfen (freie Elektronen). Sind äußere Felder vorhanden, so beeinflussen diese die Bewegung wie in der Mechanik diskutiert.
- Stöße finden im Drude-Modell vor allem mit den Ionenrumpfen statt; Stöße zwischen Elektronen sind sehr selten. Die Stöße werden als kurz angenommen und die Geschwindigkeit der Elektronen nach dem Stoß ist unabhängig von der Geschwindigkeit vor dem Stoß, sondern wird durch die Temperatur des Kristalls bestimmt.

5.1.3 Ergebnisse

Mit Hilfe dieses einfachen klassischen Modells können unterschiedliche Aspekte der Phänomenologie von Metallen erklärt werden. Beispiele dafür sind die Herleitung der qualitativen Aspekte des Ohm'schen Gesetzes, oder die Beziehung zwischen elektrischer und thermischer Leitfähigkeit. Wir diskutieren diese Resultate jedoch nicht im Rahmen des

klassischen Modells, sondern erst nach der Einführung des quantenmechanischen Modells.

Element	Z	$n (10^{22}/\text{cm}^3)$	r (Å)
Li (78 K)	1	4.70	1.72
Na (5K)	1	2.65	2.08
K (5K)	1	1.40	2.57
Be	2	24.7	0.99
Mg	2	8.61	1.41
Al	3	18.1	1.1
Ga	3	15.4	1.16

Abbildung 5.4: Dichte des Elektronengases für verschiedene Elemente.

Ein wesentlicher Unterschied zwischen dem Elektronengas eines Metalls und einem echten Gas ist die Dichte: Im Vergleich zu einem echten Gas ist die Dichte des Elektronengases um rund einen Faktor 1000 größer: Pro Leitungselektron steht lediglich ein Volumen zur Verfügung das etwa einem Atomvolumen entspricht. Für ein Atom mit Radius 2 Å erhält man ein Volumen von ca. $3 \cdot 10^{-29} \text{ m}^3$, entsprechend einer Teilchendichte von $3 \cdot 10^{28} \text{ m}^{-3}$. Dies ist eine typische Größenordnung (ca. $1 - 20 \cdot 10^{28} \text{ m}^{-3}$).

Die positiv geladenen Atomrumpfe sind relativ klein und füllen lediglich einen kleinen Teil des Raumes. Bei Natrium umfasst das Volumen der Atomkerne rund 15 % des gesamten Festkörpervolumens; bei Edelmetallen wie Ag, Au steigt der Anteil. Sie sind aber sehr viel schwerer als die Elektronen und bleiben unbeweglich auf ihren Plätzen.

5.1.4 Grenzen des Drude-Modells

Wie bei der Diskussion der Gitterschwingungen gelangt man aber auch bei den Elektronen im Rahmen der klassischen Physik sehr bald an eine Grenze, ab der ein wirkliches Verständnis nur mit Hilfe der Quantenmechanik erreicht werden kann. Zu den qualitativen Unterschieden zwischen den Voraussagen der klassischen und der quantenmechanischen Theorie gehört die Berechnung der Stöße, die ein Elektron bei der Durchquerung des Kristalls erleidet. Im klassischen Bild würde man eine große Anzahl Stöße mit den Gitteratomen erwarten. Experi-

mentell findet man, dass die Distanz, über die sich die Elektronen frei bewegen können, von der Qualität des Kristalls abhängt, sowie von der Temperatur. Während in gewöhnlichen Metallen bei Raumtemperatur (z.B. Kupferdrähte) die Elektronen nach wenigen Gitterperioden gestreut werden und sich deshalb insgesamt diffusionsartig bewegen, kann bei tiefen Temperaturen und guten Kristallen die mittlere freie Weglänge größer als die Kristalldimension werden. Aus experimentellen Daten ist bekannt, dass die freie Weglänge bis zu einem Zentimeter betragen kann. In diesem Fall bewegt sich somit das Elektron ohne Streuung durch rund 10^8 atomare Lagen; offenbar breiten sie sich dann ballistisch, also ohne Streuung im Kristall aus.

Weitere experimentelle Befunde, die mit dem Drude-Modell nicht erklärt werden konnten, waren die Temperaturabhängigkeit der elektrischen und thermischen Leitfähigkeit. Außerdem sollten in einem idealen Gas die Elektronen einen Beitrag $3/2RT$ zur spezifischen Wärme liefern; der experimentell beobachtete Beitrag ist um rund 2 Größenordnungen kleiner.

Ein klassisches Modell, welches (teilweise) erklären kann, welche Elemente metallischen Charakter haben, wurde 1927 durch Herzfeld vorgeschlagen². Ein wirkliches Verständnis ist jedoch nur im Rahmen einer quantenmechanischen Behandlung möglich.

5.2 Das quantenmechanische Modell

5.2.1 Das Sommerfeld-Modell

Die wichtigsten Beschränkungen des Drude Modells können dadurch überwunden werden, dass man die Elektronen als quantenmechanische Teilchen, d.h. als Teilchen mit Wellencharakter behandelt. Ein entsprechendes Modell wurde 1928 von Sommerfeld vorgeschlagen, kurz nach der Entdeckung des Pauli-Prinzips. Damit gelang es, die wichtigsten Inkonsistenzen des Drude-Modells aufzulösen.

Ein Festkörper umfasst rund 10^{20} miteinander wechselwirkende Teilchen. Natürlich ist die exakte Be-

handlung eines solchen Systems nicht möglich. Wir müssen deshalb zunächst einige drastische Vereinfachungen durchführen: wir lassen Wechselwirkungen zwischen den Elektronen wie auch von Kernen zu Elektronen vorläufig vollständig weg und betrachten zunächst nur freie und unabhängige Elektronen. Ihre Zustände sind somit auch nur Einelektronenzustände, die wir auch als Orbitale bezeichnen.

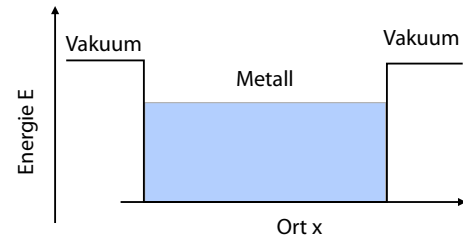


Abbildung 5.5: Potenzial für Elektronen im Sommerfeld-Modell.

Damit brauchen wir lediglich freie Elektronen in einem (unendlich ausgedehnten) Kristall zu betrachten. Die Ränder des Kristalls sind Potenzialwände. Als Eigenzustände solcher freier Elektronen kann man bekanntlich ebene Wellen verwenden; diese sind allerdings im gesamten Raum nicht normierbar. Man kann zu normierbaren Funktionen gelangen, indem man periodische Randbedingungen einführt. Die entsprechende Periode, welche groß gegen die Gitterkonstante sein sollte, kann anschließend gegen Unendlich geführt werden.

Die Atomrümpfe bilden ein Hintergrundpotenzial. Sie bestehen aus den Kernen plus den stark gebundenen Elektronen in den gefüllten Schalen. Je nach Metall sind diese Rümpfe relativ klein und weit voneinander entfernt, oder sie berühren sich und bilden teilweise kovalente Bindungen.

Das Sommerfeld'sche Modell der freien Elektronen passt am besten auf die Alkalimetalle. Hier entsprechen die Atomrümpfe den abgeschlossenen Schalen mit Edelgaskonfiguration, das eine Valenzelektron im s -Orbital ist das freie Elektron, welches ein Leitungsband mit s -Charakter bildet.

Wasserstoff, das leichteste und häufigste Element des Universums, gehört zur gleichen Gruppe des Periodensystems wie die Alkaliatome. Gemäß theoreti-

²Phys. Rev. 29, 701-705

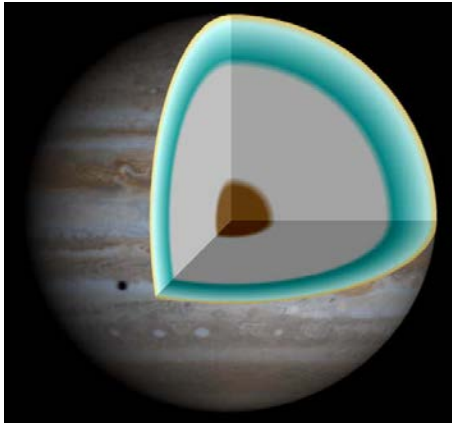


Abbildung 5.6: Aufbau des Planeten Jupiter.

schen Vorhersagen sollte es bei hohen Drücken metallisch werden. Man geht deshalb davon aus, dass der Jupiter zu einem großen Teil aus metallischem Wasserstoff besteht. Versuche, auf der Erde Wasserstoff in die metallische Form zu bringen, haben jedoch bisher keine eindeutigen Resultate geliefert. Theoretische Vorhersagen gehen davon aus, dass dafür Drücke im Bereich von 500 GPa ($5 \cdot 10^6$ atm) notwendig sind.

5.2.2 Das Teilchen im Potenzialtopf

Um die quantenmechanischen Zustandsfunktionen der Elektronen im Kristall zu bestimmen, rekapitulieren wir zunächst das Problem eines Teilchens in einem eindimensionalen Potenzialtopf. Wie bei der Diskussion der Phononen führen wir zunächst Randbedingungen ein, welche in erster Linie dazu dienen, die Zustände zu normieren und die Zustandsdichte zu berechnen.

Das Potenzial verschwindet auf der Strecke $[0, L]$ und ist unendlich hoch außerhalb. Der Hamiltonoperator dieses Systems beinhaltet im Bereich $[0, L]$ lediglich die kinetische Energie

$$\mathcal{H} = \frac{p^2}{2m} = -\frac{\hbar^2}{2m} \frac{d^2}{dx^2}.$$

Die Eigenfunktionen dieses Operators sind die ebenen Wellen

$$\Psi_k = e^{ikx}$$

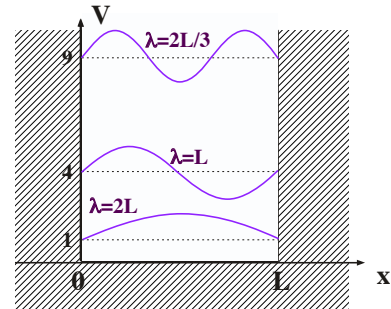


Abbildung 5.7: Eindimensionaler Potenzialtopf.

oder

$$\Psi_k = a \sin kx + b \cos kx$$

und die Eigenwerte sind

$$\mathcal{E}_k = \frac{\hbar^2 k^2}{2m} = \frac{p^2}{2m}.$$

Der Hamiltonoperator ist nur gültig für $0 < x < L$.

Wir berücksichtigen das Potenzial über die Randbedingung und verlangen, dass $\Psi(0) = \Psi(L) = 0$. Damit erhalten wir als Lösungen

$$\Psi_n = A \sin \left(n\pi \frac{x}{L} \right)$$

und

$$\mathcal{E}_n = \frac{\hbar^2}{2m} \left(\frac{n\pi}{L} \right)^2.$$

Wenn sich mehrere Elektronen in diesem Potenzial befinden und wir deren elektrostatische Wechselwirkung zunächst vernachlässigen, so kann gemäß dem Ausschließungsprinzip von Pauli jeder dieser Zustände mit zwei Elektronen mit entgegen gesetztem Spin besetzt werden. Das Gesamtsystem ist demnach im Grundzustand wenn die niedrigsten $N/2$ Zustände mit jeweils 2 Elektronen besetzt sind.

5.2.3 Drei Raumdimensionen

In Kristallen entspricht der Potenzialtopf der Randbedingung, dass die Elektronen sich innerhalb des

Kristalls befinden müssen. Wir berücksichtigen dies wiederum über periodische Randbedingungen

$$\begin{aligned}\Psi(x, y, z) &= \Psi(x+L, y, z) = \Psi(x, y+L, z) \\ &= \Psi(x, y, z+L),\end{aligned}$$

wobei L groß gegenüber einer Einheitszelle sein soll.

Im dreidimensionalen Raum lautet der Hamiltonoperator für ein freies Elektron

$$\mathcal{H} = -\frac{\hbar^2}{2m} \left(\frac{d^2}{dx^2} + \frac{d^2}{dy^2} + \frac{d^2}{dz^2} \right).$$

Elektronen in einem Potenzialtopf mit Kantenlänge L haben dann die Zustände

$$\Psi_n = A \sin \left(\frac{2\pi}{L} n_x x \right) \sin \left(\frac{2\pi}{L} n_y y \right) \sin \left(\frac{2\pi}{L} n_z z \right)$$

und Energien

$$\begin{aligned}\mathcal{E}_n &= \frac{\hbar^2 k^2}{2m} = \frac{\hbar^2}{2m} (k_x^2 + k_y^2 + k_z^2) \\ &= \frac{\hbar^2}{2m} \left(\frac{2\pi}{L} \right)^2 (n_x^2 + n_y^2 + n_z^2).\end{aligned}\quad (5.1)$$

Alternativ können komplexe Zustände (ebene Wellen) verwendet werden:

$$\Psi_{\vec{k}}(\vec{r}) = e^{i\vec{k} \cdot \vec{r}} \quad \vec{k} = \frac{2\pi}{L} \begin{pmatrix} n_x \\ n_y \\ n_z \end{pmatrix}.\quad (5.2)$$

Da wir uns hier in einem endlichen Bereich (mit Volumen L^3) befinden, sind diese Zustände normierbar und die möglichen k -Werte diskret. Die Energie dieser Zustände ist die gleiche wie in (5.1). Der Impuls eines Elektrons in diesem Zustand ist $\vec{p} = \hbar \vec{k}$ und seine Geschwindigkeit $\vec{v} = \hbar \vec{k} / m$. Wir verwenden diese Zustände als Basisfunktionen für die Beschreibung von Elektronen in einem Kristall der Kantenlänge L .

Nach Gl. (5.2) sind die Zustände gleichmäßig im k -Raum verteilt. Die Energie steigt proportional zum Quadrat des Impulses.

5.2.4 Fermi-Energie

Wir untersuchen nun die Frage, welche dieser Zustände besetzt sind. Da Elektronen einen Spin $1/2$ besitzen, unterliegen sie der Fermi-Dirac Statistik und jeder räumliche Zustand kann maximal von 2 Elektronen mit entgegengesetztem Spin besetzt sein.

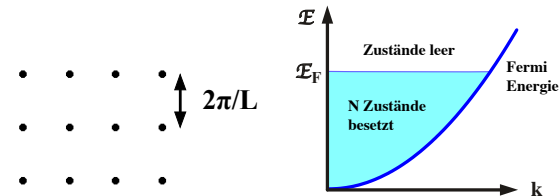


Abbildung 5.8: Links: Zustände im k -Raum; rechts: Besetzung der Zustände bei $T = 0$.

Am absoluten Nullpunkt besetzen N Elektronen die $N/2$ energetisch niedrigsten Zustände. Da die Energie (im Rahmen dieses Modells) nur vom Betrag des Impulses abhängt, bilden diese Zustände im k -Raum eine Kugel. Um die besetzten Zustände zu finden, bestimmen wir zunächst die Zahl der Zustände im Impulsraum.

Da wir periodische Randbedingungen angenommen haben, ist der Impulsraum diskret, mit Einheitszellen der Seitenlänge $2\pi/L$. Die besetzten Zustände füllen in diesem Raum eine Kugel, deren Radius wir mit k_F bezeichnen. Das Volumen dieser Kugel beträgt $\frac{4}{3}\pi k_F^3/3$.

Die Anzahl der Zustände in dieser Kugel, d.h. die Zahl der besetzten Zustände, muss der Zahl der Elektronen entsprechen. Wir setzen somit die Zahl der Elektronen gleich der doppelten (Spin!) Zahl der Moden. Diese berechnen wir, indem wir das gesamte Volumen der Kugel durch das Volumen pro Zustand dividieren,

$$N = 2 \frac{\frac{4}{3}\pi k_F^3}{\left(\frac{2\pi}{L}\right)^3} = \frac{V k_F^3}{3\pi^2}.\quad (5.3)$$

Bei N Elektronen muss damit der Radius der Kugel

$$k_F = \sqrt[3]{\frac{3\pi^2 N}{V}}$$

sein. Die entsprechende Energie beträgt

$$\mathcal{E}_F = \frac{\hbar^2}{2m} \left(\frac{3\pi^2 N}{V} \right)^{\frac{2}{3}} \quad (5.4)$$

und wird als Fermi-Energie bezeichnet. Die Fermi-Energie ist somit die Energie der Elektronen im höchsten besetzten Einelektronenzustand. In der Fermi Energie tritt die Anzahl Elektronen und das Volumen nicht mehr unabhängig auf, sondern sie hängt lediglich von der Dichte N/V der Elektronen ab. Damit muss die Fermienergie mit der Dichte der Elektronen zunehmen.

	Wertigkeit	Elektronenzahldichte [cm ⁻³]	Fermi-Energie [eV]	Fermi-Temperatur [K]
Li	1	$4,70 \cdot 10^{22}$	4,72	54800
Rb	1	$1,15 \cdot 10^{22}$	1,85	21500
Cu	1	$8,45 \cdot 10^{22}$	7,00	81200
Au	1	$5,90 \cdot 10^{22}$	5,51	63900
Be	2	$24,20 \cdot 10^{22}$	14,14	164100
Zn	2	$13,10 \cdot 10^{22}$	9,39	109000
Al	3	$18,06 \cdot 10^{22}$	11,63	134900
Pb	4	$13,20 \cdot 10^{22}$	9,37	108700

Abbildung 5.9: Beispiele von Fermi-Energien.

Abb. 5.9 zeigt, dass die experimentellen Werte dies bestätigen. Typische Größenordnungen für die Elektronenzahldichte liegen bei 10^{29} m^{-3} , für die Fermienergie bei 10 eV.

Häufig parametrisiert man die Fermi-Energie auch über die Temperatur:

$$k_B T_F = \mathcal{E}_F.$$

Typische Werte für die Fermi-Temperatur liegen bei 10^5 K , also bei Temperaturen weit oberhalb des Schmelzpunktes. Somit ist $T \ll T_F$ immer eine sehr gute Näherung.

Wenn wir den Impuls der Elektronen in eine Geschwindigkeit umrechnen, erhalten wir für die Geschwindigkeit der Elektronen an der Fermi-Oberfläche

$$v_F = \frac{\hbar k_F}{m} = \frac{\hbar}{m} \sqrt{\frac{3\pi^2 N}{V}}.$$

Typische Werte liegen im Bereich von 10^6 m/s , also bei $0.003 c$. Allerdings sollte man dies nicht mit einem entsprechend schnellen Massentransport assoziieren.

Insgesamt ist die kinetische Energie der Leitungselektronen deutlich niedriger, als die entsprechende kinetische Energie in einem isolierten Atom. Diese Absenkung der kinetischen Energie ist im Wesentlichen für die metallische Bindung verantwortlich.

5.2.5 Zustandsdichte

Eine wichtige Größe ist die Zustandsdichte, d.h. die Anzahl quantenmechanischer Zustände in einem bestimmten Volumen. Da die Elektronen gleichmäßig über den ganzen Raum verteilt sind, ist die Zustandsdichte im gewöhnlichen Raum offenbar konstant.

Im reziproken Raum (k -Raum) haben wir gesehen, dass die Zustandsdichte ebenfalls konstant ist, d.h. die Anzahl Zustände pro Volumenelement ist konstant.

Anders sieht es aus, wenn wir die Anzahl Zustände als Funktion des Betrages des k -Vektors betrachten. Für die Berechnung dieser Zustandsdichte bestimmen wir zunächst die Anzahl Zustände, deren Wellenzahl kleiner als k ist. Laut Gl. (5.3) ist dies

$$N_k = \frac{V k^3}{3\pi^2}.$$

Daraus können wir die Dichte der Zustände berechnen in der Umgebung eines Wellenvektors k , d.h. in einer Kugelschale mit Radius k :

$$\frac{dN_k}{dk} = \frac{k^2 V}{\pi^2}.$$

Außerdem interessiert die Zustandsdichte im Energieraum. Mit

$$\mathcal{E} = \frac{\hbar^2 k^2}{2m},$$

resp. $k^2 = 2m\mathcal{E}/\hbar^2$ erhalten wir für die Anzahl Zustände mit Energie kleiner als \mathcal{E}

$$N(\mathcal{E}) = V \frac{(2m\mathcal{E})^{3/2}}{3\pi^2 \hbar^3}$$

und daraus die Zustandsdichte im Energieraum

$$\begin{aligned} \frac{dN(\mathcal{E})}{d\mathcal{E}} &= \frac{d}{d\mathcal{E}} \mathcal{E}^{3/2} V \frac{(2m)^{3/2}}{3\pi^2 \hbar^3} \\ &= \frac{\sqrt{2} V m^{3/2}}{\pi^2 \hbar^3} \sqrt{\mathcal{E}}. \end{aligned} \quad (5.5)$$

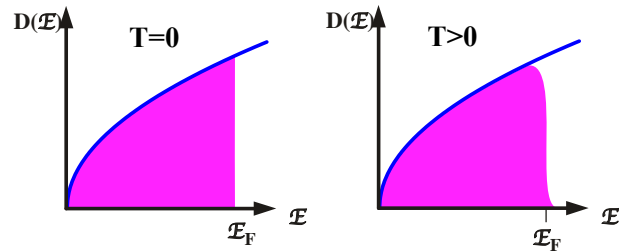
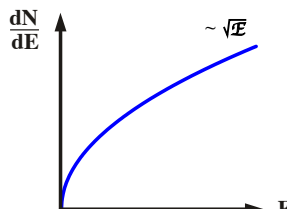
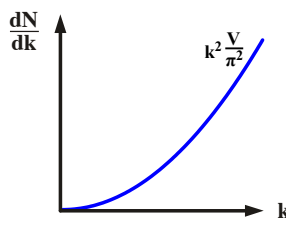


Abbildung 5.10: Zustandsdichte im k -Raum (links) und im Energieraum (rechts).

Die Zustandsdichte steigt also proportional zur Wurzel aus der Energie; sie verschwindet beim Nullpunkt und ist proportional zum Volumen V des Kristalls.

5.3 Thermodynamik des Elektronengases

Im Drude-Modell hatte man angenommen, dass die klassische Thermodynamik die Verteilung der elektronischen Zustände beschreibt. Dies wäre aber nicht mit dem Pauli-Prinzip vereinbar. Wird dieses berücksichtigt, erhält man die Fermi-Dirac Statistik.

5.3.1 Besetzungswahrscheinlichkeit

Am absoluten Nullpunkt sind die Zustände bis zur Fermienergie besetzt, die darüber liegenden leer. In Wirklichkeit arbeiten wir aber immer bei endlicher Temperatur und müssen deshalb thermische Anregungen berücksichtigen. Wie wir oben gesehen haben, sind im Grundzustand die $N/2$ niedrigsten Zustände mit jeweils zwei Elektronen mit entgegengesetztem Spin besetzt.

Dieses System kann zusätzliche Energie aufnehmen wenn ein Elektron aus einem Niveau unterhalb der Fermikante in eines oberhalb angeregt wird.

Wir bestimmen nun die Wahrscheinlichkeit, dass ein Zustand mit gegebener Energie \mathcal{E} bei einer Temperatur T besetzt ist. Dabei ist es nicht möglich, die Elektronen einzeln zu betrachten, da die Besetzung der Einelektronenzustände aufgrund des Pauliprinzips stark aneinander gekoppelt ist. Wir diskutieren

Abbildung 5.11: Besetzungswahrscheinlichkeit der Zustände bei $T = 0$ (links) und $T > 0$ (rechts).

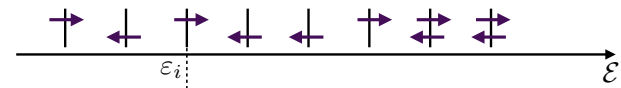


Abbildung 5.12: Beispiel eines N -Elektronen Zustands.

deshalb im Folgenden nicht 1-Elektronenzustände, sondern N -Elektronenzustände.

Die Wahrscheinlichkeit, dass ein N -Elektronenzustand mit Energie \mathcal{E} besetzt ist, beträgt

$$P_{N(\mathcal{E})} = \frac{e^{-\mathcal{E}/k_B T}}{\sum_{\alpha} e^{-\mathcal{E}_{\alpha}/k_B T}}.$$

Der Nenner ist aus der statistischen Thermodynamik als Zustandssumme bekannt. Er kann geschrieben werden als

$$\sum_{\alpha} e^{-\mathcal{E}_{\alpha}/k_B T} = e^{-F/k_B T} = e^{-(U-TS)/k_B T},$$

wobei F die Helmholtz'sche freie Energie, U die innere Energie und S die Entropie des Systems darstellt. Wir können deshalb die Besetzungswahrscheinlichkeit auch schreiben als

$$P_{N(\mathcal{E})} = e^{-\mathcal{E}/k_B T} e^{F/k_B T} = e^{-(\mathcal{E}-F)/k_B T}.$$

In der Praxis kennt man leider den N -Elektronenzustand nicht. Experimentell zugänglich ist hingegen die Besetzungswahrscheinlichkeit f_i für einen Einelektronenzustand i (Spin-Orbital).

Diese erhält man aus der obigen Verteilung durch Summation über alle N -Elektronenzustände, in de-

nen der Zustand i besetzt ist,

$$f_i^N = \sum_{\beta} P_N(\mathcal{E}_{\beta}^N).$$

β läuft über alle Zustände, in denen das i -te Orbital besetzt ist.

Der Zustand i ist entweder besetzt oder leer. Wir können somit die Besetzungswahrscheinlichkeit auch als die Differenz zwischen 1 und der Wahrscheinlichkeit für Nichtbesetzung bestimmen:

$$f_i^N = 1 - \sum_{\gamma} P_N(\mathcal{E}_{\gamma}^N),$$

wobei die Summe jetzt über diejenigen Zustände läuft, bei denen der Zustand i nicht besetzt ist.

Wir verwenden hier ein Modell freier Elektronen. Somit ist die Gesamtenergie des N -Elektronen Zustandes durch die Summe der Energien der besetzten 1-Elektronen Zustände gegeben. Wir drücken jetzt die Energie \mathcal{E}_{γ}^N des N -Elektronenzustands mit leerem Zustand i aus durch die Energie des entsprechenden $N+1$ -Elektronen Zustands in dem der Zustand i besetzt, ist minus die Energie des entsprechenden Elektrons, $\mathcal{E}_{\gamma}^N = \mathcal{E}_{\beta}^{N+1} - \varepsilon_i$. Damit wird

$$f_i^N = 1 - \sum_{\beta} P_N(\mathcal{E}_{\beta}^{N+1} - \varepsilon_i), \quad (5.6)$$

wobei ε_i die Energie des Einelektronenzustands i darstellt.

5.3.2 Die Fermi-Dirac Verteilung

Das Verhältnis der Besetzungswahrscheinlichkeiten für den N -Elektronenzustand und den $N+1$ Elektronenzustand beträgt

$$\frac{P_N(\mathcal{E}_{\beta}^{N+1} - \varepsilon_i)}{P_{N+1}(\mathcal{E}_{\beta}^{N+1})} = \frac{e^{-\frac{\mathcal{E}_{\beta}^{N+1} - \varepsilon_i - F^N}{k_B T}}}{e^{-\frac{\mathcal{E}_{\beta}^{N+1} - F^{N+1}}{k_B T}}} = e^{\frac{\varepsilon_i - \mu}{k_B T}},$$

wobei

$$\mu = F^{N+1} - F^N$$

das chemische Potenzial darstellt, d.h. die Ableitung der freien Energie nach der Teilchenzahl,

$$\mu = \frac{\partial U}{\partial N}.$$

Die relative Wahrscheinlichkeit hängt also davon ab, ob der Zustand i oberhalb oder unterhalb des chemischen Potenzials liegt.

Daraus erhalten wir für den Summanden in (5.6)

$$P_N(\mathcal{E}_{\beta}^{N+1} - \varepsilon_i) = e^{\frac{\varepsilon_i - \mu}{k_B T}} P_{N+1}(\mathcal{E}_{\beta}^{N+1}).$$

Wir setzen dieses Resultat in die Summe ein und erhalten

$$f_i^N = 1 - e^{\frac{\varepsilon_i - \mu}{k_B T}} \sum_{\beta} P_{N+1}(\mathcal{E}_{\beta}^{N+1}).$$

Diese Summe ist aber gerade die Besetzungswahrscheinlichkeit f_i^{N+1} für den i -ten Zustand in einem System mit $N+1$ -Elektronen:

$$f_i^N = 1 - e^{\frac{\varepsilon_i - \mu}{k_B T}} f_i^{N+1}.$$

Wir können diese Form vereinfachen, wenn wir annehmen, dass die Besetzungswahrscheinlichkeit sich durch die Veränderung der Elektronendichte um ein Elektron (also relativ um $\approx 10^{-23}$) nicht wesentlich ändert. Wir können dann f_i^{N+1} ersetzen durch f_i^N . Auflösen der Gleichung nach f_i^N ergibt

$$f_i^N = \frac{1}{e^{(\varepsilon_i - \mu)/k_B T} + 1}.$$

Dies ist die Fermi-Dirac Verteilung, d.h. die Besetzungswahrscheinlichkeit für Fermionen in einem Zustand der Energie ε_i . Der Term +1 im Nenner stellt sicher, dass die Funktion nicht größer als 1 wird, dass also kein Zustand mehr als einmal besetzt werden kann. Die Bose-Einstein Statistik unterscheidet sich durch ein Minus an dieser Stelle. In diesem Fall kann die Besetzungswahrscheinlichkeit sehr groß werden. Bei tiefen Temperaturen kondensieren Bosonen deshalb alle in den Grundzustand. Solche Phänomene sind für kollektive Quantenphänomene verantwortlich, wie z.B. Supraleitung, Suprafluidität oder Bose-Einstein Kondensation.

5.3.3 Beispiele

Da die Fermi-Temperatur sehr viel höher ist als die Raumtemperatur und für niedrige Temperaturen $\mu \approx k_B T_F$, gilt meistens $T \ll \mu k_B$. Wir betrachten die folgenden Grenzfälle:

a) $\varepsilon_i \rightarrow 0$: Die Exponentialfunktion geht gegen null und $f_i^N \rightarrow 1$.

b) $\varepsilon_i \gg \mu$: Die Exponentialfunktion wird groß gegen 1 und $f_i^N \rightarrow e^{-(\varepsilon_i - \mu)/k_B T}$. In diesem Bereich nähert sich die Fermi-Dirac Verteilung der Boltzmann-Verteilung an und fällt exponentiell gegen Null ab.

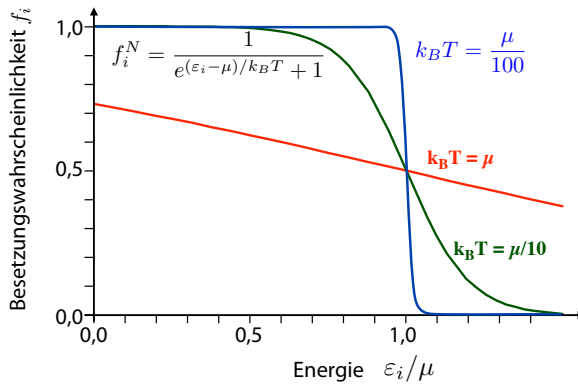


Abbildung 5.13: Fermi-Dirac Besetzungswahrscheinlichkeit bei verschiedenen Temperaturen.

Bei der Temperatur 0 K beschreibt sie einen abrupten Übergang von der 1 nach 0 an der Fermikante. Bei höheren Temperaturen wird Population aus der Nähe der Fermikante in energetisch höhere Zustände verschoben. Die Breite dieses Übergangsbereiches ist von der Größenordnung $k_B T$. Das Zentrum des Übergangs wird durch das chemische Potenzial μ bestimmt, welches am absoluten Nullpunkt der Fermienergie entspricht.

Im Gegensatz zur Fermienergie ist das chemische Potenzial aber temperaturabhängig. Wir berechnen diese Abhängigkeit, indem wir aus der Besetzungswahrscheinlichkeit die gesamte Elektronenzahl berechnen:

$$N = \sum_i f_i = \sum_i \frac{1}{e^{(\varepsilon_i - \mu)/k_B T} + 1}.$$

Für eine feste Elektronenzahl N können wir aus dieser Gleichung das chemische Potenzial μ bestimmen. Dafür entwickelt man die Differenz der Besetzungswahrscheinlichkeiten bei der Temperatur T und bei $T = 0$ K als Taylorreihe um $\mathcal{E} = \mu$. Daraus erhält man für die Temperaturabhängigkeit des chemischen Potenzials in niedrigster Ordnung in T

$$\mu(T) = \mathcal{E}_F \left(1 - \frac{\pi^2}{12} \left(\frac{T}{T_F} \right)^2 + \dots \right).$$

Für alle relevanten Temperaturen gilt $T \ll T_F$, so dass höhere Terme in exzellenter Näherung vernachlässigt werden können.

5.3.4 Die thermische Energie des Elektronengases

Gemäß der klassischen Drude-Theorie sollte die kinetische Energie der Elektronen wie bei Gasteilchen $\frac{3}{2} N k_B T$ sein. Damit sollte die Wärmekapazität also $C_{el} \approx 3R/2$ betragen, unabhängig von der Temperatur. Experimentell beobachtet man aber bei Raumtemperatur einen Wert, der wesentlich niedriger ist, von der Größenordnung <1% des klassischen Wertes, und außerdem temperaturabhängig. Erst die Fermi-Dirac Verteilung löste dieses Problem: Während in einem klassischen Gas eine Temperaturerhöhung um ΔT die Energie jedes Teilchens um $k_B \Delta T / 2$ erhöht, können die meisten Elektronen keine Energie von der Größenordnung $k_B T$ aufnehmen, da in diesem Bereich keine leeren Zustände zur Verfügung stehen. Lediglich in der Nähe der Fermikante, in einem Bereich der Breite $\approx k_B T$ um die Fermi-Energie stehen teilweise gefüllte Zustände zur Verfügung. Die Zahl der Elektronen in diesem Bereich liegt in der Größenordnung von T/T_F aller Elektronen. Da typische Werte für die Fermi-Temperatur bei rund 10^5 K liegen, beträgt dieses Verhältnis bei Raumtemperatur weniger als 1%. Die gleiche Überlegung sagt auch voraus, dass die spezifische Wärme proportional zur Temperatur abnehmen sollte.

Die Rechnung lässt sich in der Tieftemperatur-Näherung $T \ll T_F$ auch exakter durchführen. Wir berechnen die gesamte Energie U der Elektronen als

Summe über die Energie aller besetzten Einelektronenzustände als

$$U = \int_0^\infty d\epsilon \epsilon D(\epsilon) f(\epsilon),$$

wobei $D(\epsilon)$ die Zustandsdichte und $f(\epsilon)$ die Besetzungswahrscheinlichkeit bezeichnen.

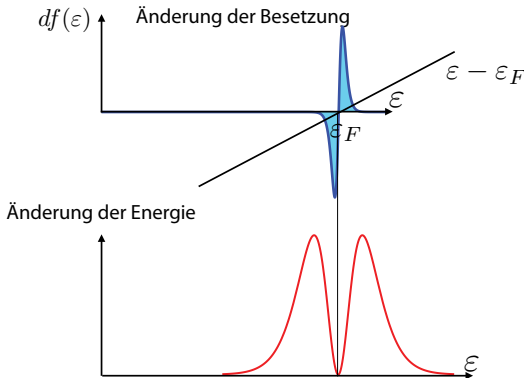


Abbildung 5.14: Änderung der Besetzung und Änderung der Energie bei endlicher Temperatur.

Die thermische Energie des Elektronengases bei der Temperatur T beträgt demnach

$$\begin{aligned} U_T &= U(T) - U(0) \\ &= \int_0^\infty d\epsilon \epsilon D(\epsilon) f(\epsilon) - \int_0^{\epsilon_F} d\epsilon \epsilon D(\epsilon) \\ &= \left(\int_0^{\epsilon_F} + \int_{\epsilon_F}^\infty \right) d\epsilon \epsilon D(\epsilon) f(\epsilon) \\ &\quad - \int_0^{\epsilon_F} d\epsilon \epsilon D(\epsilon) \\ &= \int_0^{\epsilon_F} d\epsilon \epsilon D(\epsilon) (f(\epsilon) - 1) \\ &\quad + \int_{\epsilon_F}^\infty d\epsilon \epsilon D(\epsilon) f(\epsilon). \end{aligned}$$

Das erste Integral beinhaltet die Energie, welche benötigt wird, um die Elektronen aus den Zuständen unterhalb der Fermikante zu entfernen, das zweite Integral die Energie der Elektronen oberhalb der Fermikante.

Die Anzahl Elektronen muss dabei konstant bleiben,

$$\begin{aligned} N &= N(T) = N(0) = \int_0^\infty d\epsilon D(\epsilon) f(\epsilon) \\ &= \int_0^{\epsilon_F} d\epsilon D(\epsilon). \end{aligned}$$

Wir multiplizieren diese Identität mit der Fermienergie ϵ_F und erhalten

$$\begin{aligned} & \left(\int_0^{\epsilon_F} + \int_{\epsilon_F}^\infty \right) d\epsilon \epsilon_F D(\epsilon) f(\epsilon) \\ &= \int_0^{\epsilon_F} d\epsilon \epsilon_F D(\epsilon). \end{aligned}$$

Wir addieren die rechte Seite zur thermischen Energie und subtrahieren die linke Seite und erhalten

$$\begin{aligned} U_T &= \int_0^{\epsilon_F} d\epsilon [\epsilon D(\epsilon) (f(\epsilon) - 1) \\ &\quad + \epsilon_F D(\epsilon) - \epsilon_F D(\epsilon) f(\epsilon)] \\ &+ \int_{\epsilon_F}^\infty d\epsilon [\epsilon D(\epsilon) f(\epsilon) - \epsilon_F D(\epsilon) f(\epsilon)] \\ &= \int_0^{\epsilon_F} d\epsilon (\epsilon - \epsilon_F) D(\epsilon) (f(\epsilon) - 1) \\ &\quad + \int_{\epsilon_F}^\infty d\epsilon (\epsilon - \epsilon_F) D(\epsilon) f(\epsilon). \end{aligned}$$

Die entspricht einer Verschiebung des Energienullpunktes. Das erste Integral bezeichnet die Energie, welche benötigt wird, um die Elektronen aus einem besetzten Zustand an die Fermikante anzuheben, das zweite die Energie, welche zusätzlich aufgebracht werden muss, um sie von der Fermikante in einen leeren Zustand oberhalb zu bringen. Beide Beiträge zur Energie sind positiv. Abb. 5.14 zeigt diesen Beitrag in der unteren Kurve.

5.3.5 Spezifische Wärme

Wir suchen nun die spezifische Wärme, also die Änderung der inneren Energie pro Temperaturänderung. Der einzige Term in der obigen Gleichung, der sich mit der Temperatur ändert, ist die Besetzungswahrscheinlichkeit $f(\epsilon)$. Wir erhalten deshalb

$$C_{el} = \frac{dU}{dT} = \int_0^\infty d\epsilon (\epsilon - \epsilon_F) D(\epsilon) \frac{df(\epsilon)}{dT}.$$

Da sich die Besetzungswahrscheinlichkeit nur in der Nähe der Fermikante wesentlich ändert, verschwindet der Integrand für Energien weit von der Fermienergie. Wir können deshalb die Zustandsdichte in

guter Näherung als konstant betrachten und aus dem Integral herausziehen:

$$C_{el} = D(\varepsilon_F) \int_0^\infty d\varepsilon (\varepsilon - \varepsilon_F) \frac{df(\varepsilon)}{dT}.$$

Für die Berechnung der Änderung der Besetzungswahrscheinlichkeit approximieren wir das chemische Potenzial durch die Fermienergie:

$$f = \frac{1}{e^{(\varepsilon - \varepsilon_F)/k_B T} + 1}.$$

Dies ist eine gute Näherung bei niedrigen Temperaturen. Damit wird die Ableitung nach der Temperatur

$$\frac{df}{dT} = \frac{\varepsilon - \varepsilon_F}{k_B T^2} \frac{e^{(\varepsilon - \varepsilon_F)/k_B T}}{(e^{(\varepsilon - \varepsilon_F)/k_B T} + 1)^2}$$

und die Wärmekapazität

$$C_{el} = k_B D(\varepsilon_F) \int_0^\infty d\varepsilon \left(\frac{\varepsilon - \varepsilon_F}{k_B T} \right)^2 \cdot \frac{e^{(\varepsilon - \varepsilon_F)/k_B T}}{(e^{(\varepsilon - \varepsilon_F)/k_B T} + 1)^2}.$$

Wir benutzen die Abkürzung $x = (\varepsilon - \varepsilon_F)/k_B T$ und $d\varepsilon = dx k_B T$ und erhalten

$$\begin{aligned} C_{el} &= k_B^2 T D(\varepsilon_F) \int_{-\varepsilon_F/k_B T}^\infty dx x^2 \frac{e^x}{(e^x + 1)^2} \\ &= k_B^2 T D(\varepsilon_F) \int_{-\varepsilon_F/k_B T}^\infty dx \frac{x^2}{e^x + 2 + e^{-x}}. \end{aligned} \quad (5.7)$$

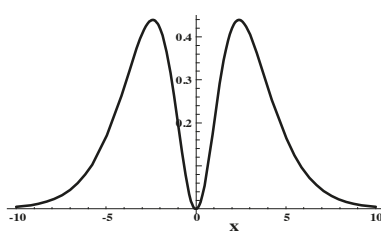


Abbildung 5.15: Grafische Darstellung des Integranden in Gl. (5.7).

Der Integrand fällt für $|x| \gg 1$ exponentiell ab. Für Temperaturen weit unterhalb der Fermitemperatur, $k_B T \ll \varepsilon_F$, d.h. im gesamten interessanten Bereich, kann die untere Integrationsgrenze deshalb auf $-\infty$ gesetzt werden. Das resultierende Integral ist nicht trivial, kann aber zu $\pi^2/3$ bestimmt werden. Damit wird

$$C_{el} = k_B^2 T D(\varepsilon_F) \frac{\pi^2}{3}.$$

Die Zustandsdichte an der Fermikante erhalten wir aus (5.5)

$$D(\varepsilon_F) = \frac{dN(\varepsilon)}{d\varepsilon} \Big|_{\varepsilon_F} = \sqrt{\varepsilon_F} V \frac{(2m)^{3/2}}{2\pi^2 \hbar^3}$$

und (5.4)

$$\varepsilon_F = \frac{\hbar^2}{2m} \left(\frac{3\pi^2 N}{V} \right)^{\frac{2}{3}}$$

nach Erweiterung mit 1 als

$$\begin{aligned} D(\varepsilon_F) &= \sqrt{\varepsilon_F} V \frac{(2m)^{3/2}}{2\pi^2 \hbar^3} \varepsilon_F^{-3/2} \left(\frac{\hbar^2}{2m} \right)^{\frac{3}{2}} \frac{3\pi^2 N}{V} \\ &= \frac{3N}{2\varepsilon_F} = \frac{3N}{2k_B T_F}, \end{aligned}$$

sodass

$$C_{el} = \frac{\pi^2}{2} k_B N \frac{T}{T_F} \quad (5.8)$$

wird. Offenbar wächst die die elektronische Wärmekapazität proportional zur Temperatur und erreicht erst in der Nähe der Fermitemperatur den Wert von Dulong-Petit. Bei Raumtemperatur ist die Wärmekapazität somit um etwa das Verhältnis T/T_F geringer.

5.3.6 Vergleich Elektronen / Phononen

Gemessen wird nie die elektronische Wärmekapazität alleine, sondern die gesamte Wärmekapazität, welche sich aus phononischem Teil und elektronischem Teil zusammensetzt. Zwischen der Debye-Temperatur und der Fermitemperatur dominiert somit der phononische Anteil. Für Temperaturen unterhalb der Debye-Temperatur erwarten wir eine Temperaturabhängigkeit der Form

$$C = \gamma T + AT^3 \quad \text{oder} \quad \frac{C}{T} = \gamma + AT^2.$$

Hier stellt γ den elektronischen und A den phononischen Anteil dar. Diese Beziehung stellt man gerne in der in Abb. 5.16 gezeigten Form dar: das Verhältnis C/T wird gegen das Quadrat der absoluten Temperatur aufgetragen.

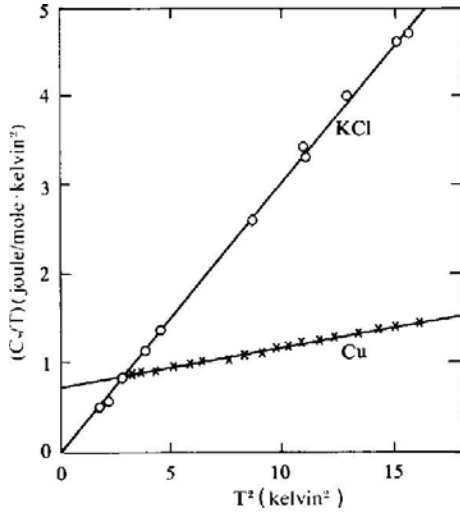


Abbildung 5.16: Vergleich der Temperaturabhängigkeit der Wärmekapazitäten des Isolators KCl und des Metalls Cu.

In dieser Darstellung zeigt der Achsenabschnitt den Beitrag der Elektronen, die Steigung den Beitrag der Phononen. Der elektronische Beitrag sollte also für sehr tiefe Temperaturen dominieren. Abb. 5.16 zeigt dies für Cu. Da KCl keine freien Elektronen besitzt, verschwindet hier der elektronische Beitrag zur spezifischen Wärme: die entsprechende Kurve hat Achsenabschnitt Null.

Die unterschiedliche Temperaturabhängigkeit für Elektronen und Phononen kann auf zwei fundamentale Unterschiede zwischen den beiden Arten von Teilchen zurückgeführt werden. Zum einen sind Phononen Quasiteilchen, welche erzeugt und vernichtet werden können (Ruhemasse = 0), während für Elektronen Teilchenzahlerhaltung gilt, da deren Ruhemasse endlich ist. Zum andern unterliegen Elektronen im Gegensatz zu Phononen dem Pauli-Prinzip, da sie einen Spin $\hbar/2$ besitzen, während Phononen Bosonen sind. Dies führt zu einer unterschiedlichen Statistik (Fermi-Dirac vs. Bose-Einstein).

5.3.7 Effektive Masse

Ein Vergleich der gemessenen und berechneten elektronischen Wärmekapazität zeigt, dass die beobachteten Werte in der richtigen Größenordnung liegen, aber nicht quantitativ exakt sind. Man beschreibt den Unterschied gerne über eine Änderung der effektiven Elektronenmasse.

Element	γ_{th} 10^{-4} J Mol K^2	γ_{exp} 10^{-4} J Mol K^2	Element	γ_{th} 10^{-4} J Mol K^2	γ_{exp} 10^{-4} J Mol K^2
Li	7.5	17.5	Fe	6.3	50.1
Na	10.9	14.6	Mn	6.3	167.1
K	16.7	19.6	Zn	7.5	5.8
Rb	19.2	24.2	Cd	9.6	7.1
Cs	22.1	32.2	Hg	10.0	20.9
Cu	5.0	6.7	Al	9.2	12.5
Ag	6.3	6.7	Ga	10.0	6.3
Au	6.3	6.7	In	12.1	18.0
Be	5.0	2.1	Tl	13.0	14.6
Mg	10.0	13.4	Sn	13.8	18.4
Ca	15.0	27.2	Pb	15.0	29.2
Sr	18.0	36.3	Bi	18.0	0.8
Ba	19.6	27.2	Sb	16.3	6.3
Nb	6.7	83.6			

Abbildung 5.18: Vergleich der theoretischen und experimentellen Wärmekapazitäten einiger Elemente.

Einige intermetallische Verbindungen von seltenen Erden und Actiniden (also Elementen mit f-Elektronen) zeigen bei niedrigen Temperaturen extrem hohe Wärmekapazitäten, welche einer effektiven Elektronenmasse von rund $1000 m_e$ entsprechen.

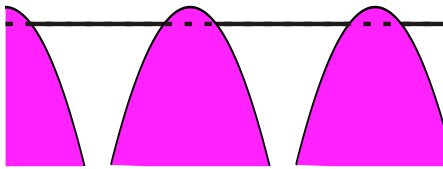


Abbildung 5.19: Gitterpotenzial für schwere Fermionen.

Diese Verbindungen werden als schwere Fermionen bezeichnet und bilden eine spezielle Klasse von Supraleitern, die ‘‘exotischen Supraleiter’’. Die hohe Masse kommt dadurch zustande, dass die Elektronen in diesen Materialien nicht wirklich frei sind, sondern, dass die Wechselwirkung mit dem Gitter hier eine wichtige Rolle spielt.

5.4 Elektrische Leitfähigkeit

5.4.1 Grundlagen

Die Fähigkeit, elektrischen Strom zu leiten, gehört zu den charakteristischen Eigenschaften der Metalle. Sowohl die klassische Drude-Theorie wie auch die quantenmechanische Theorie bieten einen Ansatz für die Erklärung dieses Phänomens. Wir diskutieren hier einen halbklassischen Beschreibung, d.h. wir verwenden klassische Bewegungsgleichungen, berücksichtigen aber die Fermi-Dirac Verteilung.

Elektrischer Strom wird durch die freien Elektronen getragen. Deren Reaktion auf das angelegte elektrische Feld bestimmt deshalb die Beziehung zwischen Strom und Spannung, welche im Rahmen dieser Theorie mit dem Ohm’schen Gesetz übereinstimmt. Die meisten freien Elektronen bewegen sich mit einer relativ hohen Geschwindigkeit; die Fermigeschwindigkeit liegt bei rund 10^6 m/s. Da die Verteilung der Geschwindigkeiten ohne ein äußeres Feld isotrop ist, findet jedoch netto kein Ladungstransport statt.

Perfekte Metalle können prinzipiell Strom leiten auch wenn kein elektrisches Feld anliegt. Reale Metalle weisen jedoch immer einen endlichen Widerstand auf – mit Ausnahme der Supraleiter, welche

nicht als normale Metalle beschrieben werden können und in einem späteren Kapitel noch behandelt werden.

Werden äußere Felder an ein Metall angelegt, so bewirken diese auf die Elektronen eine zusätzliche Kraft

$$\vec{F} = m \frac{d\vec{v}}{dt} = \hbar \frac{d\vec{k}}{dt} = -e[\vec{E} + \vec{v} \times \vec{B}].$$

Im Rahmen der klassischen Mechanik können wir gleichzeitig die Geschwindigkeit schreiben als

$$\vec{v} = \frac{d\vec{r}}{dt} = \frac{\hbar \vec{k}}{m}.$$

Diese Verhalten würde man auch quantenmechanisch erhalten, wenn man damit ein Wellenpaket beschreibt.

Wir betrachten hier zunächst nur elektrische Felder, welche offenbar zu einer gleichförmigen Beschleunigung führen. Im Impulsraum erhalten wir

$$\vec{k}(t) - \vec{k}(0) = -e\vec{E}t/\hbar,$$

d.h. einen Impuls, der linear mit der Zeit zunimmt. Dies ist in einem Metall für einzelne Elektronen nicht möglich, da es durch eine Impulsänderung in einen Zustand übergehen würde, der bereits durch ein anderes Elektron besetzt ist. Da die Felder auf alle Elektronen wirken, wird jedoch die gesamte Fermikugel verschoben um eine Distanz, welche linear mit der Zeit wächst.

In Wirklichkeit dauert die Beschleunigung der Elektronen nicht beliebig lange, sondern nur bis die Elektronen einen Stoß ausführen. Bei einem Stoß wird kinetische Energie vom Elektron auf das Gitter übertragen. Im Rahmen dieses Modells wird dabei angenommen, dass die Geschwindigkeit des Elektrons thermalisiert wird, d.h. sie kehrt zur Fermi-Dirac Verteilung zurück. Wenn die Thermalisierung im Mittel eine Zeit τ beansprucht, erreichen die Elektronen im Mittel einen Impuls, der sich um

$$\delta\vec{k} = -\frac{e\vec{E}\tau}{\hbar}$$

vom thermischen Gleichgewicht unterscheidet. Die Fermikugel im k -Raum wird somit um diesen Betrag gegenüber dem Ursprung verschoben.

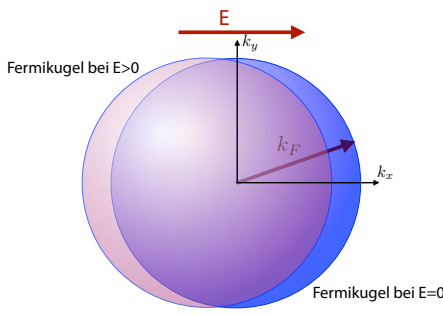


Abbildung 5.20: Verschobene Fermikugel im elektrischen Feld.

Da die Geschwindigkeit der Elektronen direkt proportional zum k -Vektor ist,

$$\vec{v} = \frac{\hbar \vec{k}}{m} = -\frac{e \vec{E} \tau}{m},$$

können wir daraus die Stromdichte berechnen:

$$\vec{j} = n(-e)\vec{v} = ne^2 \tau \vec{E} / m.$$

Hier stellt n die Anzahl Leitungselektronen pro Volumeneinheit dar. Der Strom ist somit proportional zur Feldstärke, wie im Ohm'schen Gesetz. Die Proportionalitätskonstante ist die spezifische elektrische Leitfähigkeit

$$\sigma = ne^2 \frac{\tau}{m}; \quad [\sigma] = \frac{1}{\Omega m}. \quad (5.9)$$

Dieses Resultat ist identisch mit der Voraussage des klassischen Modells.

Prinzipiell sind alle diese Größen anisotrop. Entsprechend wird die Leitfähigkeit im allgemeinen Fall durch einen Tensor beschrieben. Wir beschränken uns hier jedoch auf den isotropen Fall.

Element	77 K	273 K	373 K
Li	7.3	0.88	0.61
Na	17	3.2	
K	18	4.1	
Rb	14	2.8	

Tabelle 5.1: Relaxationszeiten für einige Alkalimetalle.

Offenbar ist die Leitfähigkeit proportional zur Zeit zwischen zwei Stößen. In sehr sauberen Metallen kann bei tiefen Temperaturen eine freie Weglänge von bis zu 10 cm erreicht werden. Die Geschwindigkeit der Elektronen ist proportional zur Streuzeit und kann unter diesen extremen Bedingungen mehrere Prozent der Lichtgeschwindigkeit erreichen.

5.4.2 Widerstand

Man kann zwei wichtige Beiträge zur Streuung von Ladungsträgern unterscheiden, die Streuung an Phononen und die Streuung an Gitterfehlern, also Fehlstellen und Verunreinigungen. Die beiden Prozesse tragen additiv zum spezifischen Widerstand bei,

$$\rho = \frac{1}{\sigma} = \rho_P + \rho_i,$$

wobei ρ_P den Beitrag der Phononen beschreibt und ρ_i den Beitrag der Gitterfehler. Diese Aufteilung des spezifischen Widerstandes wird als Matthiesen³-Regel bezeichnet.

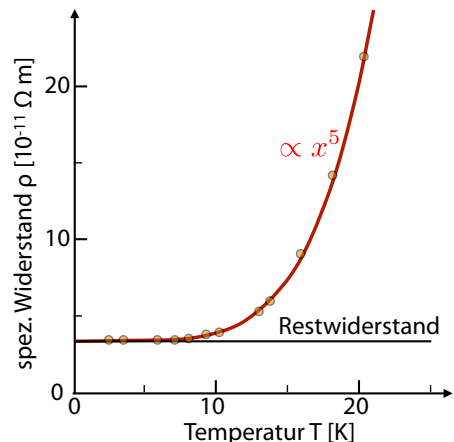


Abbildung 5.21: Tieftemperaturverhalten des spezifischen Widerstandes.

Da die Phononen bei tiefen Temperaturen verschwinden, bleibt dann nur noch der Beitrag der Kristallfehler zurück. Dieser Beitrag ist je nach Probe unterschiedlich. Abb. 5.21 zeigt den temperaturabhängigen Widerstand, welcher bei tiefen Temperaturen in einen konstanten Wert übergeht. Über solche

³Nach Augustus Matthiesen (1831 - 1870)

Messungen kann man die Konzentration von Verunreinigungen bestimmen.

Bei höheren Temperaturen treten auch “dynamische Kristallfehler” auf, nämlich Phononen. Deren Beitrag zum elektrischen Widerstand wird am besten als Emission oder Absorption eines Phonons durch ein Elektron beschrieben. Sowohl Energie wie auch Impuls muss bei diesen Prozessen erhalten bleiben, d.h.

$$\varepsilon_k = \varepsilon_{k'} \pm \hbar\omega(k - k'),$$

wobei k, k' die Wellenzahlen des Elektrons vor und nach dem Streuprozess bezeichnen, $\omega(q)$ die Phononenfrequenz.

An diesen Streuprozessen können praktisch nur Elektronen in der Nähe der Fermikante teilnehmen, da für die anderen keine freien Zustände zur Verfügung stehen.

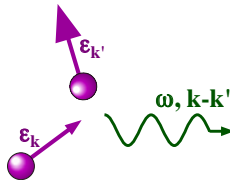


Abbildung 5.22: Elektron-Phonon Streuung.

Die Zahl solcher Streuprozesse kann bei hohen Temperaturen als proportional zur Phononenzahl angesetzt werden, d.h. zu

$$\langle n \rangle = \frac{1}{e^{\hbar\omega/k_B T} - 1}.$$

Ist die Temperatur oberhalb der Debye-Temperatur, $\hbar\omega \ll k_B T$, so wächst die Phononenzahl

$$\langle n \rangle \approx \frac{1}{1 + \frac{\hbar\omega}{k_B T} - 1} = \frac{k_B T}{\hbar\omega},$$

d.h. proportional zur Temperatur. Damit nimmt auch die Anzahl Stöße und der elektrische Widerstand zu.

Bei Temperaturen in der Nähe der Debye-Temperatur spielen Umklapp-Prozesse eine wichtige Rolle. Dafür werden Phononen mit Energien in der Größenordnung der halben Debye-Energie benötigt. Deren Zahl nimmt mit abnehmender Temperatur exponentiell ab.

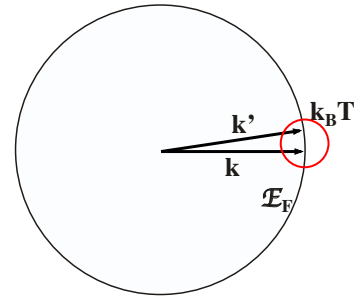


Abbildung 5.23: Links: Elektron-Phonon Streuung. Rechts: Streuprozess nahe bei der Fermikante.

Bei Temperaturen deutlich unterhalb der Debye-Temperatur werden Normal-Prozesse wichtiger als Umklapp-Prozesse. Im Rahmen des einfachen Modells von Kapitel 4.4.8 können wir abschätzen, dass die Zahl der Phononen mit Frequenz $\omega \approx k_B T / \hbar$ mit T^2 abnimmt. Die Wahrscheinlichkeit, dass solche Streuprozesse stattfinden, sinkt außerdem mit $1/T$, da Phononen mit großer Wellenlänge eine geringere Wahrscheinlichkeit für einen Absorptions-/Emissionsprozess besitzen.

Die Energie eines Elektrons an der Fermikante (~ 10 eV) ist viel größer als die Energie des entsprechenden Phonons ($\approx k_B T \approx 25$ meV bei Raumtemperatur). Für die Elektronen sind diese Streuprozesse somit beinahe elastisch, sie bleiben in der Nähe der Fermikante. Dadurch wird der Streuwinkel bei Normalprozessen gering, d.h. die Elektronen streuen fast vollständig in Vorwärtsrichtung. Sie werden dadurch nicht mehr vollständig thermalisiert, sondern ihre Geschwindigkeit sinkt proportional zu $1 - \cos \theta$, wobei θ der Streuwinkel ist. Wie in Abb. 5.23 dargestellt ist dieser proportional zur Wellenzahl k_P der Phononen, welche linear mit T abnimmt. Damit ist die Geschwindigkeitsänderung pro Stoß proportional zu T^2 . Insgesamt ergibt sich dadurch eine Abnahme des elektrischen Widerstandes mit T^5 . Dies kann in Abb. 5.21 qualitativ überprüft werden.

5.4.3 Der Hall-Effekt

In einem Magnetfeld muss in der Bewegungsgleichung auch die Lorentzkraft berücksichtigt werden:

$$\vec{F} = -e[\vec{E} + \vec{v} \times \vec{B}].$$

Wir suchen nun die stationäre Verschiebung $\delta \vec{k}$ der Fermikugel aus der Bewegungsgleichung für den Impuls

$$\begin{aligned} \hbar \frac{d\delta \vec{k}}{dt} &= \hbar \frac{d\vec{k}}{dt} = m \frac{d\vec{v}}{dt} \\ &= -e[\vec{E} + \vec{v} \times \vec{B}] - \hbar \frac{\delta \vec{k}}{\tau} = 0, \end{aligned}$$

wobei τ die Thermalisierungszeit (durch Stöße) des Impulses darstellt.

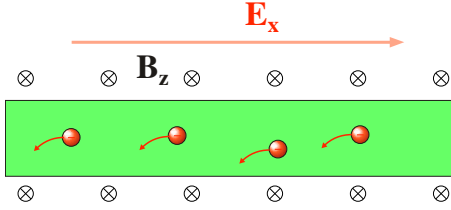


Abbildung 5.24: Bewegung von Elektronen in gekreuzten E/B Feldern.

Wir betrachten den Fall, wo ein Magnetfeld parallel zur z -Achse angelegt ist, $\vec{B} = (0, 0, B)$. Dann wird

$$\vec{v} \times \vec{B} = (v_y B, -v_x B, 0)$$

und die Bewegungsgleichungen für die drei Geschwindigkeitskomponenten werden

$$\begin{aligned} m \left(\frac{d}{dt} + \frac{1}{\tau} \right) v_x &= -e(E_x + Bv_y) \\ m \left(\frac{d}{dt} + \frac{1}{\tau} \right) v_y &= -e(E_y - Bv_x) \\ m \left(\frac{d}{dt} + \frac{1}{\tau} \right) v_z &= -eE_z. \end{aligned}$$

Daraus können wir die stationären Geschwindigkeiten bestimmen:

$$\begin{aligned} v_x &= -\frac{e\tau}{m} E_x - \omega_c \tau v_y \\ v_y &= -\frac{e\tau}{m} E_y + \omega_c \tau v_x \\ v_z &= -\frac{e\tau}{m} E_z, \end{aligned} \quad (5.10)$$

wobei

$$\omega_c = \frac{eB}{m} \quad (5.11)$$

die Zyklotronfrequenz darstellt. Offenbar verlaufen die Bahnen der Elektronen jetzt nicht mehr parallel zum elektrischen Feld, sondern werden in der xy -Ebene auf Kreisbahnen abgelenkt.

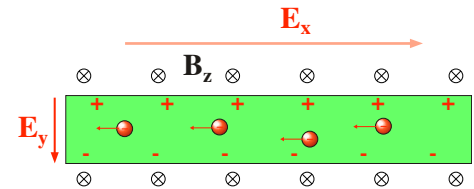


Abbildung 5.25: Gleichgewichts-Ladungsverteilung in gekreuzten E/B Feldern.

Wir betrachten nun den Fall, dass ein Strom entlang der x -Achse fließt, d.h. wir setzen $v_y = v_z = 0$. Aus der obigen Gleichung sehen wir, dass der Strom in x -Richtung durch das Magnetfeld in y -Richtung abgelenkt wird. Wir können somit nur dann eine verschwindende Bewegung in y -Richtung erhalten, wenn diese Lorentzkraft durch eine entgegengesetzte Coulomb-Kraft, d.h. durch ein elektrisches Feld kompensiert wird. Gemäß Gleichung (5.10) bedingt dies für den stationären Fall, dass

$$v_x = -e \frac{\tau}{m} E_x \quad (5.12)$$

und

$$0 = -e \frac{\tau}{m} E_y + \omega_c \tau v_x.$$

Diese Gleichung lösen wir auf nach E_y auf:

$$E_y = \omega_c v_x \frac{m}{e}$$

und setzen für v_x den stationären Wert (5.12) ein:

$$E_y = -e \frac{\tau}{m} E_x \omega_c \frac{m}{e} = -\tau \omega_c E_x.$$

Wenn wir den Ausdruck (5.11) für die Zyklotronfrequenz verwenden, entspricht dies

$$E_y = -E_x B \frac{e\tau}{m}. \quad (5.13)$$

Es entsteht also eine Spannung, welche senkrecht auf der Richtung des Stroms und dem magnetischen Feld liegt.

5.4.4 Hall Konstante

Als Hall-Konstante

$$R_H = \frac{E_y}{j_x B}$$

bezeichnet man das Verhältnis der Spannung zum Produkt aus Stromdichte j_x und Magnetfeldstärke B . Wir schreiben die Stromdichte als das Produkt aus Driftgeschwindigkeit v_x und Ladungsdichte $-en$ und erhalten

$$j_x = -env_x = \frac{ne^2 \tau}{m} E_x.$$

Mit der Beziehung (5.13) zwischen E_x und E_y erhalten wir

$$R_H = \frac{-E_x e \tau B / m}{(ne^2 \tau / m) E_x B} = -\frac{1}{ne},$$

d.h. sie entspricht der inversen Ladungsdichte und ist für freie Elektronen negativ. Je niedriger die Dichte der Ladungsträger, desto größer ist also die Hall-Konstante und damit die Hall Spannung E_y . Dies kann man qualitativ so verstehen, dass der gleiche Strom bei niedriger Ladungsträgerdichte nur durch eine höhere Geschwindigkeit und damit durch eine höhere Lorentzkraft erreicht wird.

Metall	# Valenz-elektronen	$\frac{-1}{R_H \text{ne}}$
Li	1	0.8
Na	1	1.2
K	1	1.1
Rb	1	1.0
Cs	1	0.9
Cu	1	1.5
Ag	1	1.3
Au	1	1.5
Be	2	-0.2
Mg	2	-0.4
In	3	-0.3
Al	3	-0.3

Abbildung 5.26: Beispiele von Hall-Konstanten.

Abb. 5.26 zeigt einige Hall Konstanten bei tiefen Temperaturen, jeweils als Verhältnis aus der Ladungsdichte zur gemessenen Hall konstanten. Offenbar passt diese einfache Theorie recht gut für die Alkalimetalle, weniger gut für die Edelmetalle, und für die letzten vier Elemente gar nicht.

Die Messung der Hall-Konstante dient deshalb auch zur experimentellen Bestimmung der Ladungsträgerkonzentration. Eine andere Anwendung ist die

Messung der Magnetfeldstärke. Dafür muss der Sensor zuerst kalibriert werden, da die Ladungsträgerdichte herstellungsmässig und temperaturabhängig schwankt.

Die Hall Konstante hat auch das gleiche Vorzeichen wie die Ladung der beweglichen Teilchen (welche wir hier als $-e$ angenommen haben). Sie kann somit auch Auskunft geben über das Vorzeichen der Ladung der Ladungsträger. Wir haben hier angenommen, dass es sich um Elektronen, also negative Teilchen, handelt, und erhalten wie gezeigt eine negative Konstante. Wenn es sich um Löcher, also positive Ladungsträger handelt, so wird auch die Konstante positiv. Diese Art der Leitung werden wir später diskutieren.

5.5 Wärmeleitung in Metallen

Die Tatsache, dass Metalle sich bei niedrigen Temperaturen sehr kalt und bei hohen Temperaturen sehr heiß (im Vergleich zu anderen Materialien) anfühlen zeigt, dass sie gute Wärmeleiter sind. Wärmeübertragung spielt nicht nur technisch eine wichtige Rolle, sie ist auch ein guter Test für das Verständnis der entsprechenden Materialien.

5.5.1 Ansatz

Die Wärmeleitfähigkeit einer Probe wird gemessen, indem man sie thermisch isoliert, auf der einen Seite heizt, und auf der anderen Seite die Temperatur misst. Die Wärmeleitfähigkeit ist dann definiert als der Koeffizient zwischen Temperaturgradient ∇T und Wärmestromdichte

$$j_\sigma = -K \nabla T.$$

Wie in Kapitel 4 gehen wir aus vom Ausdruck

$$K = 1/3 C v \ell$$

für die Wärmeleitung K eines idealen Gases mit Wärmekapazität C , Geschwindigkeit v und mittlerer

freier Weglänge ℓ . Wir benutzen den Ausdruck (5.8) für die elektronische Wärmekapazität

$$C_{el} = \frac{\pi^2}{2} k_B n \frac{T}{T_F}.$$

Wir hatten bereits im Rahmen der Theorie der spezifischen Wärme gesehen, dass nur die Elektronen in der Nähe der Fermikante durch Stöße Energie mit dem Gitter austauschen. Wir erwarten deshalb auch, dass diese den dominanten Beitrag zur Wärmeleitfähigkeit geben. Dementsprechend setzen wir für die Geschwindigkeit die Fermigeschwindigkeit v_F ein und für die mittlere freie Weglänge entsprechend $\ell = v_F \tau$. Damit wird die Wärmeleitfähigkeit

$$K = \frac{1}{3} \frac{\pi^2}{2} k_B n \frac{T}{T_F} v_F^2 \tau.$$

Wir schreiben die Fermi-Geschwindigkeit v_F als Funktion der Fermi-Energie

$$v_F^2 = \frac{2\epsilon_F}{m} = \frac{2k_B T_F}{m}.$$

Damit wird die Wärmeleitfähigkeit

$$K = \frac{\pi^2}{3} \frac{k_B^2 n T \tau}{m}. \quad (5.14)$$

5.5.2 Temperaturabhängigkeit

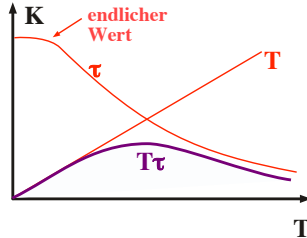


Abbildung 5.27: Verhalten der Wärmeleitfähigkeit bei tiefen Temperaturen.

Die Wärmeleitfähigkeit sollte also proportional zur Temperatur und zur mittleren Stoßzeit τ sein. Diese ist stark temperaturabhängig und diese Abhängigkeit überwiegt bei Temperaturen über 20 K.

Die Wärmeleitfähigkeit enthält, wie im Kapitel 4 gezeigt, außerdem Beiträge der Phononen. Im allgemeinen überwiegt der Beitrag der Elektronen, insbesondere in "guten" Metallen. Metalle sind deshalb

bessere Wärmeleiter als ionische Kristalle. In unreinigen Metallen und ungeordneten Legierungen nimmt der elektronische Beitrag zur Wärmeleitung stark ab, während der Beitrag der Phononen relativ konstant bleibt und deshalb vergleichbar und in Isolatoren dominant werden kann.

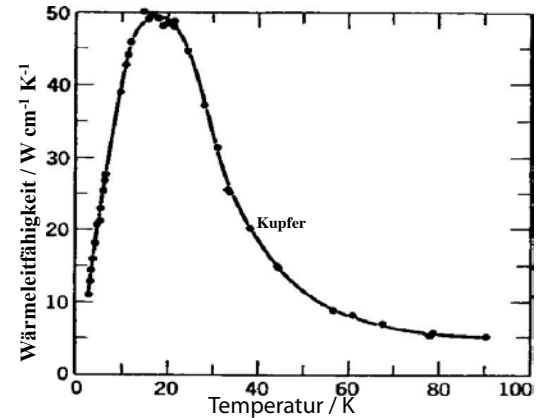


Abbildung 5.28: Temperaturabhängigkeit der Wärmeleitfähigkeit von Kupfer.

Abb. 5.28 zeigt als Beispiel die Wärmeleitfähigkeit von Kupfer als Funktion der Temperatur. Sie geht offenbar durch ein Maximum, wie wir es für den Fall freier Elektronen erwarten. Das Verhalten ist somit qualitativ ähnlich wie bei der Wärmeleitung durch Phononen, doch sinkt die Wärmeleitfähigkeit bei tiefen Temperaturen nicht mit T^3 , sondern mit T ab.

5.5.3 Vergleich elektrische / thermische Leitfähigkeit

Man kann diese thermische Wärmeleitfähigkeit (5.14) mit der elektrischen Leitfähigkeit (5.9)

$$\sigma = \frac{ne^2 \tau}{m}$$

vergleichen. Man sieht aus der obigen Behandlung, dass sie die gleiche Tendenz zeigen sollten: Beide sind proportional zur Ladungsträgerdichte n und zur mittleren Stoßzeit τ . Das Verhältnis zwischen den beiden Werten,

$$\frac{K}{\sigma} = \frac{\pi^2 k_B^2 T}{3e^2}$$

sollte direkt proportional zur Temperatur T sein. Diese Beziehung wird als Wiedemann-Franz⁴ Gesetz bezeichnet. Dividiert man auch durch die Temperatur, berechnet also

$$L = \frac{K}{\sigma T} = \frac{\pi^2 k_B^2}{3e^2} = 2,45 \cdot 10^{-8} \frac{\text{W}\Omega}{\text{K}^2},$$

so erhält man eine materialunabhängige Konstante L , welche als Lorenz-Zahl bezeichnet wird. Damit kann man das Wiedemann-Franz Gesetz als

$$\frac{K}{\sigma} = LT$$

schreiben.

ELEMENT	273 K		373 K	
	κ (watt/cm-K)	$\kappa/\sigma T$ (watt-ohm/K ²)	κ (watt/cm-K)	$\kappa/\sigma T$ (watt-ohm/K ²)
Li	0.71	2.22×10^{-8}	0.73	2.43×10^{-8}
Na	1.38	2.12		
K	1.0	2.23		
Rb	0.6	2.42		
Cu	3.85	2.20	3.82	2.29
Ag	4.18	2.31	4.17	2.38
Au	3.1	2.32	3.1	2.36
Be	2.3	2.36	1.7	2.42
Mg	1.5	2.14	1.5	2.25
Nb	0.52	2.90	0.54	2.78
Fe	0.80	2.61	0.73	2.88
Zn	1.13	2.28	1.1	2.30
Cd	1.0	2.49	1.0	
Al	2.38	2.14	2.30	2.19
In	0.88	2.58	0.80	2.60
Tl	0.5	2.75	0.45	2.75
Sn	0.64	2.48	0.60	2.54
Pb	0.38	2.64	0.35	2.53
Bi	0.09	3.53	0.08	3.35
Sb	0.18	2.57	0.17	2.69

Source: G. W. C. Kaye and T. H. Laby, *Table of Physical and Chemical Constants*, Longmans Green, London, 1966.

Abbildung 5.29: Wärmeleitfähigkeit und Lorenz-zahl.

Abb. 5.29 zeigt einige Werte für die thermische Leitfähigkeit und die Lorenz-Zahl. Sie liegen im Bereich $2.3 < L < 2.6 \cdot 10^{-8} \text{ W}\Omega/\text{K}^2$, stimmen also recht gut mit dem theoretischen Wert überein, was als Bestätigung des Modells des freien Elektronengases betrachtet werden kann. Das theoretische Resultat hängt allerdings davon ab, dass die Stoßzeit τ für die beiden Prozesse die gleiche sein soll. Dies ist nicht zwingend der Fall und führt deshalb zu Abweichungen vom Wiedemann-Franz Gesetz.

⁴nach Gustav Heinrich Wiedemann (1826 - 1899) und Rudolph Franz (1826 - 1902)

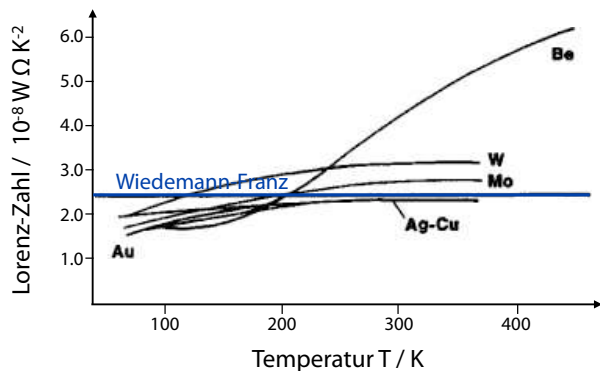


Abbildung 5.30: Temperaturabhängigkeit der Lorenzzahl.

Abb. 5.30 vergleicht die Temperaturabhängigkeit der Lorenzzahl für einige Elemente mit dem theoretisch temperaturunabhängigen Wert.

5.5.4 Thermoelektrische Effekte

Das verwendete Modell geht davon aus, dass Elektronen bei Stößen thermalisieren, d.h. dass ihre Energieverteilung sich an die lokale Temperatur anpasst. Da heißere Elektronen eine (geringfügig) höhere Geschwindigkeit haben als kalte, ist der Transport von Elektronen zwischen zwei Punkten unterschiedlicher Temperatur asymmetrisch: es fließen mehr Elektronen vom heißen zum kalten Punkt als umgekehrt, bis der thermische Gradient durch einen elektrischen Gradienten ausgeglichen wird. Ein Temperaturgradient erzeugt deshalb eine Spannungsdifferenz

$$\vec{E} = Q \vec{\nabla} T \quad [Q] = \frac{V}{K}$$

Dieser sogenannte thermoelektrische Effekt (auch Seebeck-Effekt genannt) unterscheidet sich zwischen verschiedenen Metallen.

Er kann z.B. gemessen werden, indem man die Enden von zwei unterschiedlichen Metallen kontaktiert und die Kontaktpunkte auf unterschiedliche Temperaturen bringt und die resultierende Spannung misst. Typische thermoelektrische Koeffizienten liegen im Bereich von $Q \approx \mu \text{V/K}$. Der Effekt kann prinzipiell zur Stromerzeugung genutzt werden, hat aber einen

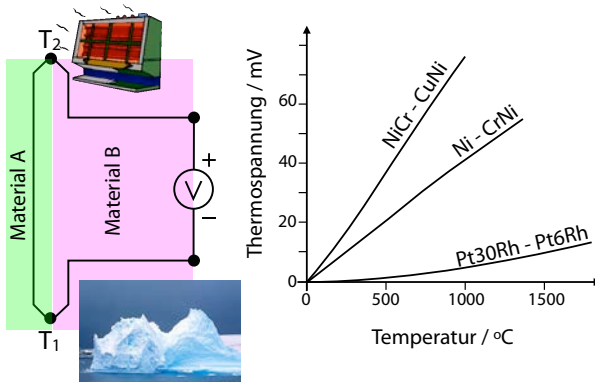


Abbildung 5.31: Anordnung zur Messung von Thermospannungen und temperaturabhängige Thermospannungen, normiert auf die Werte bei 0°C.

relativ niedrigen Wirkungsgrad. Eine wichtige Anwendung liegt in der Messung von Temperaturen (Thermoelemente).

5.6 Plasmonen

5.6.1 Quantisierte elektronische Anregungszustände

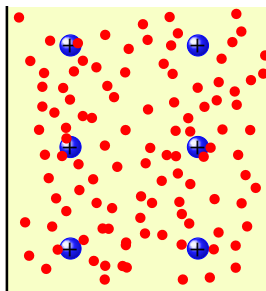


Abbildung 5.32: Elektronengas.

Da die Valenz-Elektronen in einem Metall frei beweglich sind, können sie auch zum Schwingen angeregt werden. Wir diskutieren hier kollektive Schwingungen der Elektronen. Wird ein einzelnes Elektron um die Distanz x aus der Ruhelage ausgelenkt, so erzeugt es einen elektrischen Dipol der Größe $p(x) = ex$. Wird ein Elektronengas der Dichte n ausgelenkt,

so entsteht eine elektronische Polarisation

$$P(x) = n e x.$$

Diese Polarisation entspricht einem zusätzlichen elektrischen Feld

$$E(x) = \frac{1}{\epsilon \epsilon_0} P(x) = \frac{n e}{\epsilon \epsilon_0} x.$$

Dieses elektrische Feld wirkt als Kraft auf die Elektronen. Wir erhalten die Bewegungsgleichung

$$m_e \ddot{x} = -e E(x) = -\frac{n e^2}{\epsilon \epsilon_0} x.$$

Dies entspricht einem harmonischen Oszillator

$$\ddot{x} = -\omega_p^2 x,$$

wobei die Plasmafrequenz ω_p gegeben ist durch

$$\omega_p = \sqrt{\frac{n e^2}{m_e \epsilon \epsilon_0}}.$$

Quantenmechanisch sind die Energiezustände eines harmonischen Oszillators gegeben als

$$\mathcal{E}_n = (n + \frac{1}{2}) \hbar \omega_p.$$

Da die Plasmafrequenz ein Maß für die Elektronendichte ist, bietet sich ihre Messung als interessante Methode zur Bestimmung der Elektronendichte an. Allerdings sind die Plasmonen in vielen Systemen stark gedämpft (z.B. durch Inter-Band Übergänge), dass sie gar nicht beobachtet werden können.

Typische Werte für die Plasmafrequenz liegen im Bereich von einigen (3-20) eV.

5.6.2 Messung

Die Plasmonenfrequenzen können gemessen werden, indem man die entsprechende Probe mit Elektronen bestrahlt. Diese stoßen mit den freien Elektronen der Probe und regen dadurch Plasmonen an. Dadurch verlieren die Elektronen des Strahls Energie.

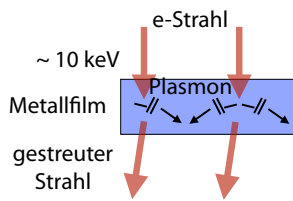


Abbildung 5.33: Prinzip der Messung von Plasmonenenergien.

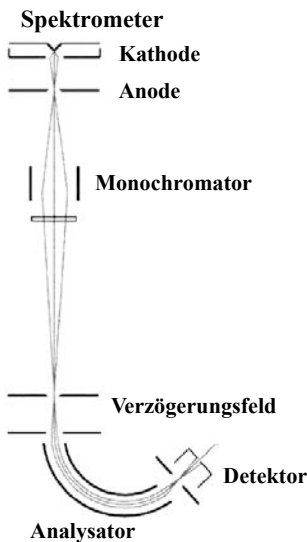


Abbildung 5.34: Apparatur für die Messung von Plasmonenenergien.

Für die Messung des Energieverlustes in der Probe benötigt man ein hochauflösendes Elektronenspektrometer, welches die kinetische Energie der transmittierten Elektronen misst.

Abb. 5.35 zeigt ein typisches Verlustspektrum, welches an einem dünnen Aluminiumfilm gemessen wurde. In diesem Fall wurden die zurückgestreuten Elektronen analysiert. Man findet Resonanzen, welche der Erzeugung von $n = 1, 2, \dots$ Plasmonen entsprechen. Die Resonanzen sind überdies aufgespalten: an der Oberfläche ist die Plasmonenfrequenz geringer als im Volumen.

Die gemessenen Plasmonenenergie stimmen relativ gut mit den berechneten überein. Sie nehmen mit

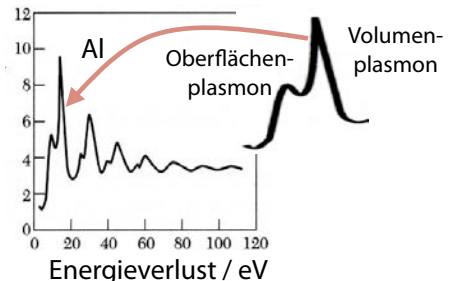


Abbildung 5.35: Plasmonenspektrum von Aluminium mit Aufspaltung der Resonanzen.

	Gemessen	Berechnet
Li	7,12	8,02
Na	5,71	5,95
K	3,72	4,29
Mg	10,6	10,9
Al	15,3	15,8

Tabelle 5.2: Plasmonenenergien in eV

der Elektronendichte zu: Al (3 Valenzelektronen) hat eine deutlich höhere Plasmonenfrequenz als die Alkaliatome (1 Valenzelektron). Bei den Alkaliatomen nimmt die Elektronendichte mit zunehmendem Atomgewicht ab. Deshalb ist die Plasmonenfrequenz von K niedriger als die von Na und Li.

5.7 Elektron-Phonon Wechselwirkung

5.7.1 Grundlagen

Die bisher verwendete Born-Oppenheimer Näherung vernachlässigt Wechselwirkungen zwischen Elektronen und Kernen. Einige der vernachlässigten Terme haben wir bereits berücksichtigt, z.B. indem wir die Streuung von Elektronen an Phononen als Beitrag zum elektrischen Widerstand diskutiert haben. Eine Wechselwirkung kommt dadurch zustande, dass Phononen das Kergitter verzerren und die Elektronen deshalb ein Potenzial spüren, welches nicht mehr die ideale Periodizität aufweist. Phono-

nen können deshalb absorbiert oder gestreut werden. Die Wechselwirkung kann mit akustischen Phononen oder mit optischen Phononen geschehen. Man unterscheidet

- Fröhlich-Wechselwirkung
- Deformationspotenzial-Wechselwirkung
- Piezoelektrische Wechselwirkung.

Elektronen-Phonen Wechselwirkungen spielen in Halbleitern (vor allem binären und ternären) eine wichtige Rolle, sowie in Supraleitern, wo sie für die Bildung der Cooper-Paare verantwortlich sind.

5.7.2 Polaronen

Auch in dielektrischen Festkörpern spielen Elektron-Phonon Wechselwirkungen eine Rolle.

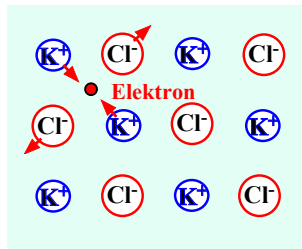


Abbildung 5.36: Gitterverzerrung durch Wechselwirkung mit Elektron.

In einem ionischen Kristall, wie z.B. KCl erzeugt ein Elektron eine Gitterverzerrung: die positiven Ionen werden in Richtung auf das Elektron verschoben, die negativen davon weg. Ein Resultat dieser Wechselwirkung ist, dass die effektive Masse des Elektrons steigt: wird es bewegt, so bewegt sich die Gitterverzerrung mit. Die Kombination aus Ladung und Gitterverzerrung (oder Ladung und Phonon) wird gerne als Polaron bezeichnet.

Die effektive Masse eines Leitungselektrons in KCl wächst dadurch um einen Faktor 2.5 im Vergleich zum Fall eines starren Gitters.

Bei Materialien mit stärker kovalentem Charakter, wie z.B. dem Halbleiter GaAs, ist die Gitterverzerrung durch die Leitungselektronen schwächer und damit die Kopplungskonstante kleiner.

	Crystal	KCl	KBr	AgCl	AgBr
Kopplungskonstante	α	3.97	3.52	2.00	1.69
Masse	m_{pol}^*/m	1.25	0.93	0.51	0.33
Bandmasse (starres G.)	m^*/m	0.50	0.43	0.35	0.24

Abbildung 5.37: Effektive Masse von Leitungsband-Elektronen in Isolatoren.

	ZnO	PbS	InSb	GaAs
α	0.85	0.16	0.014	0.06
m_{pol}^*/m	—	—	0.014	—
m^*/m	—	—	0.014	—
m_{pol}^*/m^*	—	—	1.0	—

Abbildung 5.38: Effektive Masse von Leitungsband-Elektronen in Halbleitern mit teilweise kovalenten Bindungen.

5.7.3 Cooper Paare

Die Verzerrung, welche die Elektronen im Gitter erzeugen, wirkt wiederum auf andere Elektronen und kann dazu führen, dass zwischen (weit voneinander entfernten) Elektronen eine effektive Anziehungs- kraft zustande kommt. Dadurch kommt es zur Bildung von sogenannten Cooper Paaren, welche für die Supraleitung verantwortlich sind. Dies wird im Kapitel 9 genauer diskutiert.